ケーブル破断を考慮した斜張橋における静的応答解析

| 秋田大学大学院 | 学生会員 | 角田 晴輝 |
|---------|------|--------|
| 秋田大学大学院 | 正会員 | 青木 由香利 |
| 秋田大学大学院 | 学生会員 | 及川 大輔 |
| 秋田大学大学院 | 正会員 | 後藤 文彦 |

はじめに 1.

吊橋,斜張橋やアーチ橋など吊り形式橋梁におい て,ケーブルは命綱ともいえる重要な構造部材で ある.2019年に生じた台湾の南方澳大橋の落橋は, ケーブルの腐食・疲労による破断が原因であると考 えられており、ケーブル破断の危険性を示す典型的 な事例である、そこで本研究では、斜張橋を対象と し,ケーブル破断が橋全体の終局強度に及ぼす影響 を検討し,橋全体の崩壊過程を明らかにする.

解析モデルの諸元 2.

本研究で想定した斜張橋モデルの構造諸元および 常時設計荷重を示す、さらに構造解析により断面力 を求め、モデル橋および部材断面の妥当性を検討 する.

(1) モデル橋の諸元

想定した斜張橋は主スパン長 300m の鋼斜張橋で ある.実橋は2面吊り斜張橋であるが,片面のみを 考慮し,平面モデルとして解析した(図-1).主桁断 面は ,鋼製箱断面とし ,床版は鋼床版を想定した . 主 塔は2本柱で構成され,その断面は長方形とした. 鋼板材質は,SM400(降伏応力 235MPa) である. ケーブルを構成する鋼線の引張強度は 1570MPa と した.ケーブル断面積を表-1に示す.

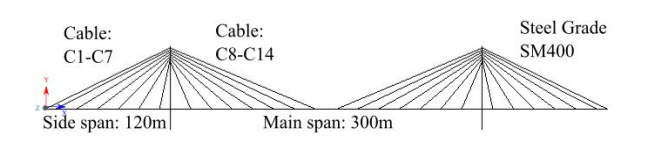


図-1 解析モデル

表-1 ケーブルの断面積

| Cable | R(mm) | A(mm ²) |
|---------|-------|---------------------|
| C1 | 44.0 | 6362 |
| C2-C6 | 43.0 | 5027 |
| C7-C8 | 30.0 | 2827 |
| C9-C11 | 43.0 | 5027 |
| C12-C14 | 44.0 | 5675 |

常時設計荷重 (Pr+D+CW+L)**(2)**

橋軸方向単位長さあたりの死荷重(D)は,鋼桁 重量 (34.9 kN/m), 地覆・高欄 (12.2 kN/m), アス ファルト舗装 (14.2 kN/m) の合計 61.3 kN/m を主 桁に等分布載荷した.また,側径間にはカウンター ウエイト (CW, 30 kN/m) を載荷した. 死荷重作 用時に主桁および主塔の曲げモーメントが平滑化か つ最小になるようにケーブル・プレストレス (Pr)を導入した. 活荷重 (L) は道路橋示方書の B 活 荷重とした. すなわち,集中荷重 $p1(10kN/m^2)$ を 10m 長さおよび幅員 5.5m に作用させる. ただし, その他の部分は $5.0 \mathrm{kN/m^2}$ とする. さらに,分布 荷重 $p2(3.5 \mathrm{kN/m^2})$ を幅員 $5.5 \mathrm{m}$ に作用させる.た だし,その他の部分は $5.0 \mathrm{kN/m^2}$ とする.なお,集 中荷重はスパン中央に,等分布荷重は全径間に載荷 した.

3. 解析方法

解析モデルは骨組み構造とし、主桁および主塔は ファイバー要素に分割した.ケーブルは円形断面の 鋼棒でモデル化をした.材料の構成則は,鋼板はバ イリニア,ケーブルは引張側のみを有効とするト リリニアとした.(1)最初にケーブルプレストレス (Pr) を載荷し, 死荷重および活荷重(D+L) を漸増 させた. すなわち,

$$P = Pr + k (D+L) \tag{1}$$

である .k は荷重増加係数であり,0.01 ずつモデル橋が崩壊するまで増加させた.終局時の.k を終局荷重係数.ku とした.(2) 腐食などの原因によりアンカーケーブル(C1) が破断したと仮定した.静的解析により 1 本のケーブルが破断直後,衝撃荷重が作用し連鎖的に他のケーブルが破断する様子を解析した.本研究で用いた解析プログラムは,.ku Memtat .ku 2018である.

4. 解析結果

(1) 弹塑性崩壊解析

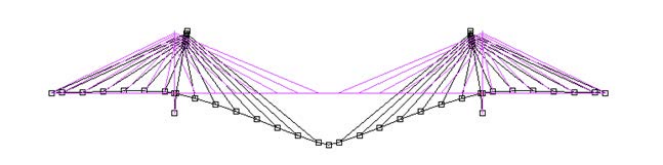


図-2 常時設計荷重による変形

(2) ケーブル破断を考慮した静的応答解析

a) C1 が破断した直後

C1 が無くなった構造系に,C1 の引張方向の荷重が衝撃荷重として作用する.衝撃荷重は,C1 の引張軸力の2倍が作用すると考え,2.0 x FC1 を作用させる.その結果,全ての主桁および主塔断面は弾性範囲内である.破断したC1 に隣接するC2

の応力は $827N/mm^2$ となり第一降伏点には達しない.また主桁のスパン中央の応力は $127.5N/mm^2$ であった.したがって,全体崩壊には至らない.しかし,ケーブルが腐食している場合には,断面積の減少,じん性の低下の可能性もある.したがって,C2 も破断する可能性がある.

b) C2 が破断した直後

C1 の破断に続き C2 が破断する場合を検討する . C1 および C2 が無くなった構造系に , 衝撃荷重を作用させる . 衝撃荷重は , C1 の引張軸力の 2 倍が作用すると考え , $2.0 \times FC1 + 2.0 \times FC2$ を作用させる . C2 に隣接する C3 の応力は $1095 N/mm^2$ となり第一降伏点には達しない . したがって , 全体崩壊には至らない .

c) C3 が破断した直後

C2 に続き C3 が破断する場合を検討する.C1 $\sim C3$ が無くなった構造系に,2.0 × FC1+2.0 × FC2+2.0 × FC3 を作用させる.その結果、C5 付近の主桁断面が全塑性断面となり塑性ヒンジが形成され,橋全体が崩壊する.そのとき,C3 に隣接する C4 のひずみは破断ひずみに近い 0.039 となる.

5. まとめ

弾塑性解析により斜張橋モデルの崩壊過程および 終局強度を求めた、以下を確認した.

- 1)スパン中央の主桁に塑性ヒンジが生じ崩壊した.
- 2) ケーブル C1, C2, C3 は塑性点に達し,主塔基 部は部分塑性した。
- 3) 終局荷重係数 ku は 2.66 になった.

そして静的解析によりアンカーケーブルが破断した 直後,衝撃荷重により連鎖的に他のケーブルが破断 する様子を解析した.

1) C1 および C2 が破断しただけでは全体崩壊に至らず,C3 が破断した直後,C5 付近の主桁が全塑性断面となり橋全体が崩壊した.

参考文献

1) 中村俊一,青木由香利: [ケーブル腐食を考慮した斜張橋の終局強度及び疲労寿命] 構造工学論文集 Vol. 67A (2021 年 3 月)